

位图局部敏感哈希的匹配二进制特征搜索算法

杨东升¹, 张展^{1,2}, 廉梦佳^{1,2}, 王丽娜^{1,2}

(1. 中国科学院 沈阳计算技术研究所, 沈阳 110168; 2. 中国科学院大学, 北京 100049)

摘要:针对现有匹配二进制特征搜索算法效率低和入围点少的问题,提出了快速计算位图算法和位图局部敏感哈希算法。首先,计算左图提取的二进制特征的位向量;然后,使用快速计算位图算法计算位向量的位图,将位图作为关键字,并与二进制特征的标识作为映射,构建局部敏感哈希表;接着,将哈希表中的关键字存入位集;最后,判断右图提取的二进制特征对应的位图是否存在哈希表中,优化查询哈希表中的匹配二进制特征,提高匹配二进制特征的搜索效率和质量。实验证明:位图局部敏感哈希算法提高了二进制特征近邻搜索的效率、增加了入围点数。

关键词:计算机应用;位图;局部敏感哈希;二进制特征;图像匹配;汉明距离

中图分类号:TP391 **文献标志码:**A **文章编号:**1671-5497(2018)03-0893-10

DOI:10.13229/j.cnki.jdxbgxb20170299

Matching binary feature search algorithm of bitmap locality sensitive hashing

YANG Dong-sheng¹, ZHANG Zhan^{1,2}, LIAN Meng-jia^{1,2}, WANG Li-na^{1,2}

(1. Shenyang Institute of Computing Technology, Chinese Academy of Science, Shenyang 110168, China; 2. University of Chinese Academy of Science, Beijing 100049, China)

Abstract: To solve the issues of low efficiency and less inliers of existing matching binary feature search algorithms, a Fast Calculating Bit Map algorithm (FCBM) and a Bit Map Locality Sensitive Hashing algorithm (BMLSH) are proposed. First, the bit vectors of the binary features extracted from left image is calculated and the FCBM is used to calculate bitmap of each bit vector. Second, the bitmaps of the bit vectors are taken as the key words, and each keyword and its corresponding binary feature identifier are used to construct local sensitive hash table, then the maps are stored in the hash table. Furthermore, the keywords in the hash table are stored in the bit set. Finally, the bit set is used to judge whether the bitmaps of right image binary feature exists or not in the hash table, and the query of matching binary features are optimized to improve the search efficiency and quality. Experiments show that the proposed BMLSH can improve the search efficiency and increase the number of inlier points.

Key words: computer application; bitmap; locality sensitive hashing; binary feature; image matching; hamming distance

收稿日期:2017-03-30.

基金项目:“核高基”国家科技重大专项项目(2017ZX01030-201).

作者简介:杨东升(1965-),男,研究员,博士生导师。研究方向:数控技术,机器人视觉。E-mail:dsyang@sict.ac.cn

0 引言

二进制特征是图像特征匹配和识别的先进技术,相对于 SIFT^[1,2] 和 SURF^[3,4] 特征,其具有有效计算、快速比较和紧密存储的优点。目前,主要二进制特征的提取算法有 BRIEF^[5]、ORB^[6]、BRISK^[7]、FREAK^[8] 和 CBD^[9] 等。二进制特征即 01 字符串,一般使用汉明距离和最近邻比率算法^[10](NNDR)判断两个二进制特征是否匹配。

搜索匹配特征向量的算法有多种,但并不适用于搜索匹配二进制特征,因此有人提出了适用于搜索匹配二进制特征的哈希技术。例如:Indyk 等^[11]提出基于哈希表的近似近邻搜索算法——局部敏感哈希(LSH)算法,其只适用于欧氏空间特征向量的搜索。Lv 等^[12]提出多探头局部敏感哈希(MPLSH),有效地解决了高维特征的相似度搜索问题,且可用于匹配二进制特征搜索。Kong 等^[13]提出将曼哈顿哈希表用于大规模图像检索,把二进制特征转化为十进制数,根据曼哈顿距离计算不相似度进行查询。Shrivastave 等^[14]通过旋转致密化位排列哈希,实现了高维二进制特征的快速近邻搜索。Lin 等^[15]提出在高维数据中使用决策树快速监督哈希算法。Liong 等^[16]提出了基于紧凑二进制代码学习的深度哈希算法。Lin 等^[17]提出了二进制哈希编码的深度学习算法,实现了图像的快速检索。Norouzi 等^[18]在紧凑二进制代码中,给出最小亏损哈希算法;之后,采用多索引实现了在汉明空间的二进制代码子字符串的快速搜索,使在汉明空间的 k 近邻(KNN)搜索成为可能^[19]。Muja 等^[20]在使用自动算法配置的快速近邻搜索中,给出多个随机 KD 树算法搜索高维匹配特征,在二进制特征快速匹配算法中提出了多层次聚类树(HCT)算法,在高维数据可扩展近邻算法^[21]中,对近似最近邻算法做出总结,并给出相应的近似近邻快速搜索的函数库(FLANN)。文献[22]提出了位图索引的近邻搜索算法,具有占用空间少和搜索速度快的优点。

本文提出了快速计算位图(FCBM)算法和位图局部敏感哈希(BMLSH)算法,搜索两个数据集中的匹配二进制特征或相似的二进制代码,以提高匹配特征搜索效率和增加入围点数。本文实验使用文献[23]给出的图像数据集提取的 ORB 二进制特征,使用入围点数、入围率、平均查询时间、平均投影误差和空间复杂度等评价标准,将本

文算法与 FLANN 函数库中的二进制特征匹配算法(包括 LINEAR、MPLSH 和 HCT 等)进行对比。实验结果表明:在相同条件下,本文算法的消耗时间少、搜索到的入围点数多、匹配入围率与平均投影误差与其他算法接近、消耗的内存空间与多探头局部敏感哈希算法相当。

1 理论基础

1.1 二进制特征

二进制特征的提取^[5,24,25]是根据特征点邻域中,对应的“点对”之间灰度值大小确定特征 0、1 状态的取值,如式(1)所示:

$$T(P_a) = \begin{cases} 1, & \text{if } I(P_a^{rl}) - I(P_a^{r2}) > 0 \\ 0, & \text{otherwise} \end{cases} \quad (1)$$

式中: P_a 为特征点邻域的点对; $I(P_a^{rl})$ 和 $I(P_a^{r2})$ 分别为特征点邻域中点对 P_a 的前一个和后一个采样像素的灰度值; $T(P_a)$ 为比较 $I(P_a^{rl})$ 和 $I(P_a^{r2})$ 得到的只有 0、1 两个状态的单位长度的二进制字符串。

设 L 为二进制特征的长度, F 代表二进制特征,是依次将多个 $T(P_a)$ 按顺序移位算出的整型数,如式(2)所示:

$$F = \sum_{0 \leq a \leq L} 2^a T(P_a) \quad (2)$$

二进制特征(如 BRIEF、ORB、BRISK 和 FREAK 特征)在存储时,依次将每 8 个 $T(P_a)$ 作为一个无符号字符类型(uchar, 8 bit)存入内存,每个二进制特征长度为 L ,则每个二进制特征可以用 $L/8$ 个无符号字符型表示。

1.2 局部敏感哈希

最初的局部敏感哈希算法^[11],需要将欧氏空间中的特征向量转换到汉明空间中,同时确定特征向量在哈希表中的位置,而二进制特征一般是由 BRIEF、ORB 等算法直接提取^[26,27]。局部敏感哈希的核心是点积: $h(\vec{v}) = \vec{v} \cdot \vec{x}$, 其中 \vec{v} 为查询高维空间点的特征向量, \vec{x} 为使用高斯分布生成的维数相同的特征向量。存储点积到哈希表中的思路是:近邻的特征向量散列到同一个哈希桶中,哈希函数如式(3)所示:

$$h^{x,b}(\vec{v}) = \left\lfloor \frac{\vec{x} \cdot \vec{v} + b}{w} \right\rfloor \quad (3)$$

式中: $\lfloor \cdot \rfloor$ 为向下取整函数; w 为每个划分容器的宽度; b 为 0 到 w 之间的随机变量,其作用是使量化错误更容易分析。

点积的投影使近邻特征映射到哈希表中相同的位置,需要的条件如下:

(1)在 R^d 空间(d 维欧氏空间)中,任意特征向量 p 和 q 之间的距离小于等于 R_1 ,则特征向量 p 和 q 被分到同一个哈希桶的概率 P_H 大于等于 p_1 ,如下所示:

$$\begin{aligned} P_H &= [h(p) = h(q)] \geq p_1 \\ \text{for } \|p - q\| &\leq R_1 \end{aligned} \quad (4)$$

式中: $\|\cdot\|$ 为 L_2 范数。

(2)在 R^d 空间,任意特征向量 p 和 q 之间的距离大于等于 R_2 ,则特征向量 p 和 q 被分到同一个哈希桶的概率 P_H 很小,小于等于 p_2 ,且 $p_2 < p_1$,如下所示:

$$\begin{aligned} P_H &= [h(p) = h(q)] \leq p_2 \\ \text{for } \|p - q\| &\geq cR_1 = R_2 \end{aligned} \quad (5)$$

注意,由于线性点积,两特征向量 p 和 q 所在哈希桶的距离 $\|h(p) - h(q)\|$ 拥有的量级分布与 $\|p - q\|$ 成比例,因此 $p_1 > p_2$ 。

1.3 位图索引

位图索引 V 是一个长度为 N 的聚集位向量^[22],每位的状态只能是 0 或 1。在位向量 V 中第 i 位的状态,取决于对应的记录,如果该位置的记录是 t ,则该位为 1;否则为 0。举例说明:当前的文件中,有 6 个记录,每条记录是(int, binary)的点对,编号为 1 到 6,并依次为:(30,101),(30,010),(40,011),(50,101),(40,010),(30,011)。

例子中,有 6 条点对记录,所以位向量长度为 6,第 1 条、第 2 条和第 6 条的整型记录为 30,所以整型记录 30 对应的位向量为 110001;同理,整型记录 40 和 50 对应的位向量分别为 001010 和 000100。例子中,第 1 条和第 4 条的二进制记录为 101,所以二进制记录 101 对应的位向量为 100100;同理,二进制记录 010 和 011 对应的位向量分别为 010010 和 001001。

2 位图局部敏感哈希

2.1 计算二进制特征的位图

二进制特征是高维的位向量,比如 BRIEF、ORB 特征是 256 位,BRISK、FREAK 特征为 512 位。本文以 ORB 二进制特征为例,描述本文 FCBM 算法。ORB 特征以无符号字符型(uchar)的形式存储在内存,所以 256 位的 ORB 特征在内存中存储了 32 个无符号字符型数。FCBM 算法的主要目的是让近邻的二进制特征获得相同的或

近邻的位图,并使计算位图的速度更快。

FCBM 算法如下:首先从一个无符号字符型数(8 bit)中选取 5 bit,组成一个 5 bit 的无符号字符类型数 S_i , $S_i \in [0,31]$,则长度为 32 个无符号类型的 ORB 特征,经过以上处理可以得到 32 个 S_i ,将 S_i 按照 ORB 特征中对应无符号类型数的排序,依次编号为 1~32,则每个 ORB 特征对应的记录为 $S = S_1 S_2 \dots S_{32}$; $S_i \in [0,31]$,即 S 的每个位置上的记录 $S_i \in [0,31]$ 。然后,按照 1.3 节的方法计算位图,记录 0~31 都有一个对应的位向量设为 B_j , $j \in [0,31]$,将位向量 B_j 转化为 32 bit 无符号整型数,存储于内存中。最后,将近邻记录的位向量按位或得到最终位向量作为 ORB 二进制特征的位图。ORB 特征由 32 个无符号字符型组成,只取前 4 个对 FCBM 算法进行举例说明。

首先,计算并记录 S_i 。如表 1 所示, U_1 和 U_2 为两个近邻二进制特征的前 4 个 uchar 组成的数据; M 为取位用的 4 个 uchar 组成的掩码; S_i 是取位的最终结果, $i \in [1,4]$,表示二进制特征的第 i 个 uchar。取位是指取特征的 uchar 类型对应二进制数在掩码为 1 时的位置的状态(其他位置抹去),组成一个新的 5 bit 数,掩码 M 的每个 uchar 类型对应的二进制数中有且只有 5 个 1。如表 1 所示,掩码 M 的第一个 uchar 类型转为二进制数的左起第 1、3、5、7、8 位为 1,所以取 U_1 的左起第 1、3、5、7、8 位得到的 S_1 为 00000,转化为十进制为 0;同理,取 U_2 的第 1、3、5、7、8 位得到的 S'_1 为 01000,转化为十进制为 8;二进制字符串 $S_1 = 00000$ 与 $S'_1 = 01000$,按位异或结果为 01000,结果中有一个 1,所以二进制字符串 S_1 与 S'_1 之间的汉明距离为 1,二进制字符串 S'_1 是 S_1 的 1 近邻。同理,获得的 S'_2 等于 S_2 , S'_3 是 S_3 的二近邻, S'_4 等于 S_4 。由 S'_1 与 S_1 、 S'_2 与 S_2 取位的过程可知,掩码 M 的主要作用是计算位图时避开近邻二进制特征中的不一样的位,降低二进制特征向量的维数。

表 1 无符号字符型的取位

Table 1 Getting bits of unsigned characters

M	10101011	01101011	10101101	11011001
U_1	01010100	10101000	01100001	01010010
S_i	00000	01100	01001	01100
U_2	01110100	10101100	11100101	01010010
S'_i	01000	01100	11011	01100

由于 uchar 类型数值的范围为 [0,255],而

uchar 类型掩码 M 中有且只有 5 个 1, 从掩码 M 中的 8 bit 选 5 bit 设置为 1 有 56 种方法。根据掩码取位计算记录 S_i , 可以事先将这些取位结果算好, 保存在 56×2^8 的数组中, 取位计算记录时不需要移位运算, 而是直接取数组中对应的数据, 这样可以提高计算二进制特征对应位图的效率。然后, 按照章节 1.3 的方法, 计算位向量: 记录 S_i 为 0 至 31, 都有一个对应的位向量设为 $B_j, j \in [0, 31]$, 表 2 为 U_1 和 U_2 取位后所得记录 S_i 与 S'_i 对应的位向量。

表 2 记录 S_i 和 S'_i 对应的位向量Table 2 Bit vector of S_i and S'_i

U_1		U_2	
记录 S_i	位图	记录 S'_i	位图
0	1000	8	1000
9	0010	12	0101
12	0101	27	0010
其他	0000	其他	0000

最后, 将近邻记录的位向量按位取“或”, 其结果作为二进制特征的位图。计算二进制特征时, 位的状态可能跳变, 由 0 变 1 或由 1 变 0, 导致近邻记录的位向量是同一位向量或者近邻向量, 如表 1 近邻记录 S'_1 和 S_1 的位向量是同一位向量, 近邻记录 S'_3 和 S_3 的位向量是近邻位向量。

2.2 哈希表构建和位集优化查询

将每个二进制特征的位图或其位图的一部分作为关键字, 将关键字与二进制特征的 ID 作为映射存入每个哈希表相应的桶中。每个哈希表都有一个与关键字长度一致的掩码, 目的是再计算二进制特征的位图时, 避开近邻特征中不一样的位和降维。一般构建多个哈希表, 哈希表中的一个哈希桶对应一个关键字, 一个关键字对应一个或者多个二进制特征 ID。因为 ORB 二进制特征是由 256 位组成, 即 32 个 uchar 类型, 所以 ORB 二进制特征位图是 32 维的位向量, 转化成 32 bit 的无符号整型数, 保存在内存中。

位集(bitset)是快速查询关键字是否存在的一种算法。本文使用位集对匹配二进制特征的查询进行优化, 以快速判断当前查询特征是否存在哈希表中。初始化位集为 0, 首先根据式(6)将哈希表中所有的关键字 key 存储到位集 bitset[·] 中, 如下所示:

$$\text{bitset}[\text{key}/32] |= (1 << (\text{key} \% 32)) \quad (6)$$

查询时, 根据式(7)判断当前查询关键字是否

存在于哈希表中:

$$\text{bitset}[\text{key}/32] \& (1 << (\text{key} \% 32)) != 0 \quad (7)$$

若当前计算结果为 0, 则关键字不存在; 若计算结果不为 0, 说明关键字存在, 则查询与当前哈希表对应的桶。

2.3 保存查询信息与特征匹配判断

在位集中, 若当前关键字存在于哈希表中, 则查询关键字对应的哈希桶中所有 ID 相应的二进制特征, 计算当前关键字相应的二进制特征与 ID 相应二进制特征的汉明距离, 当遇到与当前查询二进制特征的最近邻特征和次近邻特征时, 保存相应的 ID 以及最近邻和次近邻距离。设最近邻距离为 d_1 , 次近邻距离为 d_2 , 根据 NNDR 算法, 判断当前查询特征与 ID 相应的二进制特征是否匹配, 如式(8)所示:

$$R = d_1 / d_2 \quad (8)$$

若满足阈值条件 $R < 0.6$, 则匹配; 否则不匹配。

3 实验验证

3.1 实验设计

实验包括 5 个部分: ①计算位图: 提取左、右两图像的二进制特征, 使用 FCBM 算法, 分段依次计算每个二进制特征对应的位图。②构建哈希表: 使用左图二进制特征对应位图作为关键字, 将关键字与二进制特征的 ID 作为映射, 存入每个哈希表里相应的桶中, 一个关键字可以对应多个二进制特征的 ID。③位集优化搜索: 将哈希表中的关键字存到位集中, 原因是位集可以快速判断当前查询关键字是否存在哈希表中。④保存查询信息: 若右图特征对应关键字存在于哈希表中, 则计算左图关键字对应二进制特征与当前右图特征的汉明距离, 保存当前特征的最近邻和次近邻距离以及关键字对应特征的 ID。⑤匹配入围点判断: 使用 NNDR 算法, 判断左、右两图二进制特征是否匹配, 根据左、右图像匹配点集合, 计算左图转到右图点的旋转矩阵, 旋转矩阵乘以左图点得到的坐标与对应右图点坐标的距离叫投影误差, 根据投影误差判断当前点是否是入围点, 入围点数除以匹配点数即为匹配入围率。

实验使用 Windows7 操作系统, OPENCV 图像处理函数库; 使用文献[23]给出图像数据集所提取的 ORB 二进制特征作为算法评价数据集。文献[23]给出的图像数据集中, 每个图库有 6 幅

图像,且每个图库里的图像都是同一场景在不同情况下拍摄的。实验时使用其中的5个图库,包括bike、boat、luven、trees和ubc图库,同一图库将第1幅图像提取的ORB特征作为训练特征,其他图像提取的ORB特征作为匹配查询二进制特征,图库中每张图提取的ORB特征数如表3所示。使用搜索算法,查询左图与右图的匹配二进制特征,计算两图的匹配点数、入围点数、入围率和平均投影误差等。将本文算法与FLANN函数库中的搜索匹配二进制特征的算法进行对比,包括LINEAR、MPLSH和HCT算法等。

表3 提取不同数据集中各图像的ORB特征个数

Table 3 Number of ORB features for extracting each image in different dataset

图库	图像1	图像2	图像3	图像4	图像5	图像6
bike	5972	5067	3871	2190	1520	958
boat	6000	6000	6000	6000	6000	5998
luven	5854	5406	5116	4685	4237	3497
trees	6000	6000	6000	6000	6000	6000
ubc	6000	6000	6000	6000	6000	6000

3.2 实验数据及对比分析

3.2.1 哈希表数目不同

本文BMLSH算法有两个变量,分别是哈希表数和关键字长度。如图1所示,本文算法的定量分析图,设置关键字长度为20,提取bike图库中bike1图的ORB特征为5972个,bike2图的ORB特征为5067个。由图1(a)可以看出:本文算法搜索到的入围点数在哈希表数不少于3个时,入围点数大于2300,并且随着表数的增加,入围点数先是快速增加随后趋于稳定;由图1(b)可以看出:本文算法的入围率高,入围率随着哈希表数的增加先是增加随后趋于稳定;由图1(c)可以看出:本文算法的平均查询时间随着哈希表数的增加呈线性增长;由图1(d)可以看出,本文算法搜索到入围点的平均投影误差小于1.5 pixel。

3.2.2 关键字长度不同

图2为不同关键字长度时本文算法的性能,定量设置哈希表数为5和12,提取bike图库中bike1图的ORB特征为5972个,bike2图的ORB特征为5067个。由于3.2.1节入围点数入围率在哈希表数为5时接近最大,在哈希表数为12时趋于稳定,所以设置两个定量分析:当哈希表数为5时,设置关键字长度为14~25;当哈希表数为12时,设置关键字长度为15~27。

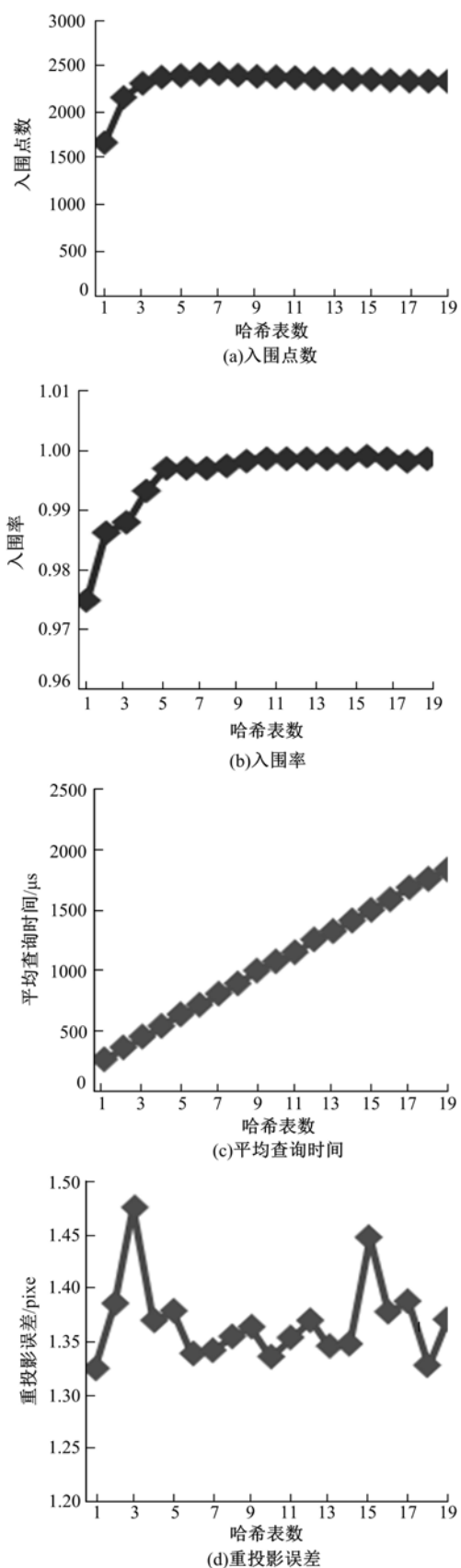


图1 不同哈希表数量时本文算法的性能

Fig. 1 Performance of proposed method under different number of hash tables

图 2 不同关键字长度时本文算法的性能

Fig. 2 Performance of proposed method under different length of key

由图 2(a)(b)(c)可知:随着关键字长度的增加,入围点数先增加后减小,入围率逐渐减少,平均查找时间逐渐减少,在关键字长度为 20 左右时,入围点数最多,入围率最高,平均查询时间适中;由图 2(d)(e)(f)可知:随着关键字长度的增加,入围点数先增加后减小,入围率逐渐减少,平

均查询时间逐渐减少,在关键字长度为 20 左右时,入围点数最多,入围率最高,平均查询时间适中。

3.2.3 不同算法性能的对比

图 3 为 LINEAR、MPLSH 和 HCT 算法,与本文 BMLSH 算法的性能对比。其中,提取 bike

图库中6张图像的ORB特征数,如表3所示。本文以bike1作为源图像提取ORB特征作为训练特征,其他图像(bike2、bike3、bike4、bike5和bike6)提取的ORB特征作为查询特征,bike图库中的图像随着编号的增加其模糊程度也增加。在相同的情况下,图3(a)表明本文算法的入围点数比其他算法多40个以上;图3(b)表明,随着查询特征的增加,本文算法所需查询时间的增加程度

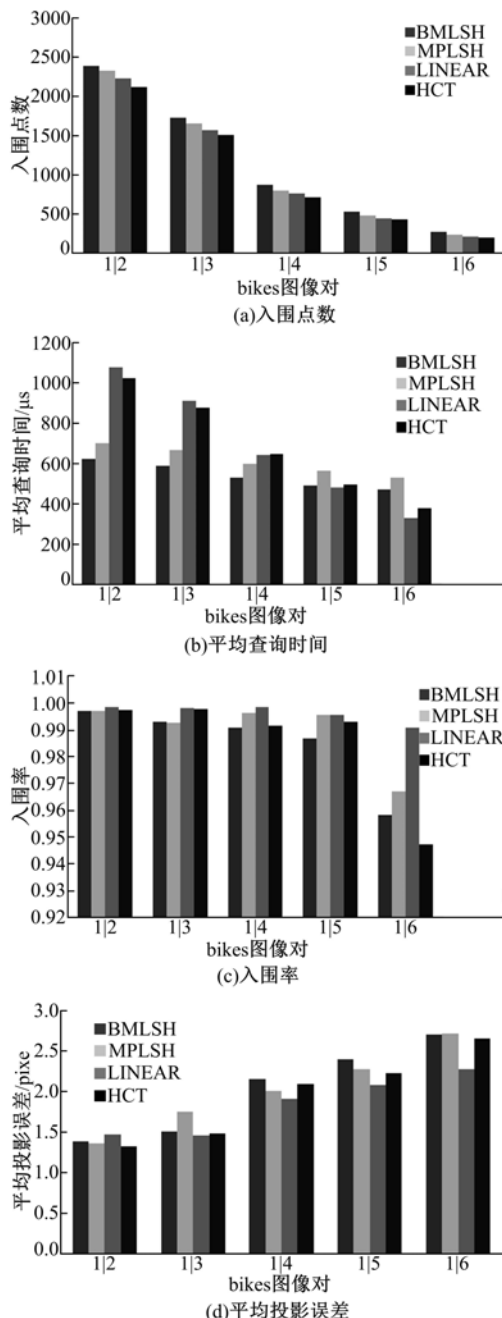


图3 使用 bike 图库时不同算法的性能

Fig. 3 Performance of different algorithms
test bike dataset

小,所需的查询时间少;图3(c)表明本文算法的查询入围率大于95.8%,与其他算法相当;图3(d)表明本文算法平均投影误差与其他算法接近。

图4为使用boat图库,不同算法的性能对比。提取boat图库中6张图像的ORB特征数,如表3所示。boat1~boat6图像是不同视角不同旋转角度下拍摄的图像。在相同的情况下,图4(a)表明本文算法的入围点数多比其他算法至少

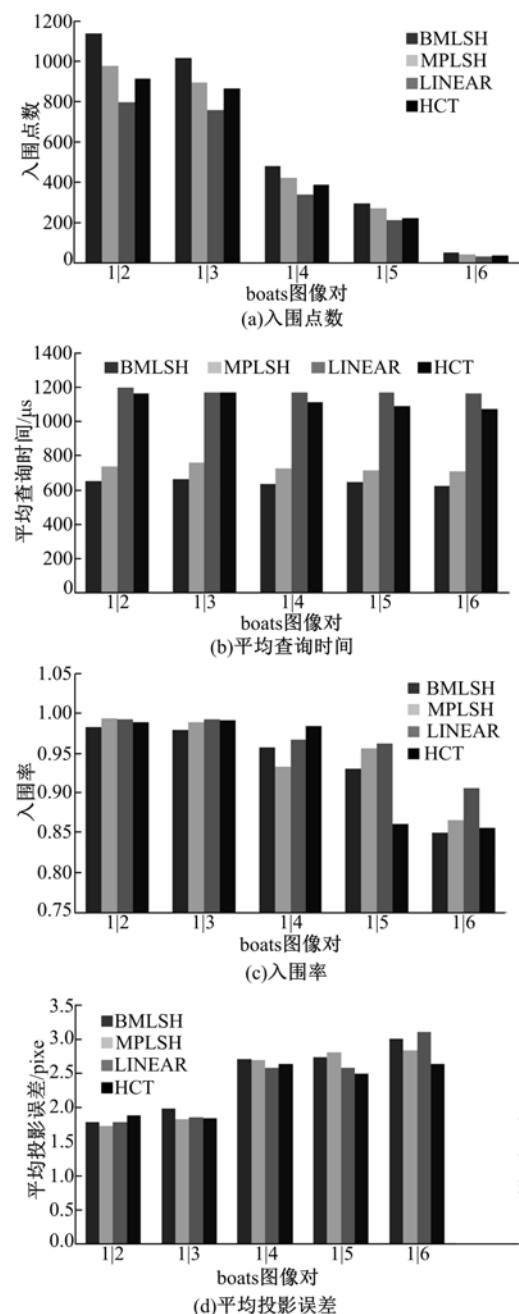


图4 使用 boat 图库时不同算法的性能

Fig. 4 Performance of different algorithms
test boat dataset

多 11 个;图 4(b)表明,在查询特征数目一定时,本文算法所需查询时间少且稳定,为 622.899~664.01 μs ;图 4(c)表明本文算法的查询入围率大于 85%,与其他算法相当;图 4(d)表明本文算法平均投影误差与其他算法接近。

3.2.4 特征匹配效果对比

图 5 为本文 BMLSH 算法与其他算法的入围点连线效果图。实验使用 boat 图库,提取 boat1 和 boat2 图像的 ORB 特征分别为 1500 和 1497 个。本文 BMLSH 算法搜索到的入围点数为 330 个,MPLSH 算法搜到 295 个,LINEAR 算法搜到 239 个,HCT 算法搜索到 267 个。比较入围点连线图 5(a)与图 5(b)(c)(d)可知,本文 BMLSH 算法的入围点连线比较稠密,匹配入围点数较多。



(a)BMLSH算法, 入围点330个



(b)MPLSH算法, 入围点295个



(c)LINEAR算法, 入围点239个



(d)HCT算法, 入围点267个

图 5 不同算法的入围点连线图

Fig. 5 Inliers connection diagram of different algorithms

表 4 为不同算法使用 luven 图库查询匹配特征的入围点数,1|2 是指 luven1 和 luven2 组成的图像对。表 5 为不同算法使用 luven 图库查询匹配特征的平均查询时间。由表 5 可知:本文 BMLSH 算法查询的入围点数多,比其他算法多 9 个以上,平均查询时间短,在 666.046 μs 以下。表 6 为不同算法使用 trees 图库查询匹配特征的入围点数。表 7 是不同算法使用 trees 图库查询匹配特征的平均查询时间。由表 7 可知:本文 BMLSH 算法的查询入围点数多,平均查询时间最短,在 636.796 μs 以下。

表 4 luven 图库不同算法的入围点数

Table 4 Number of inliers for different algorithms under luven dataset

算法	1 2	1 3	1 4	1 5	1 6
BMLSH	2412	1832	1452	1106	769
MPLSH	2399	1791	1391	1097	711
LINEAR	2265	1668	1273	989	633
HCT	2133	1563	1223	908	628

表 5 luven 图库不同算法的平均查询时间

Table 5 Average query time by different algorithms under luven dataset

算法	1 2	1 3	1 4	1 5	1 6
BMLSH	609.135	666.046	653.318	618.985	588.947
MPLSH	655.606	710.688	696.010	684.221	649.685
LINEAR	1102.289	1077.587	1028.373	963.901	862.694
HCT	1125.887	1061.947	1000.814	892.638	816.983

表 6 trees 图库不同算法的入围点数

Table 6 Number of inliers for different algorithms under trees dataset

算法	1 2	1 3	1 4	1 5	1 6
BMLSH	967	646	365	224	98
MPLSH	903	653	334	185	92
LINEAR	781	552	280	155	73
HCT	744	548	289	154	80

表 7 trees 图库不同算法的平均查询时间

Table 7 Average query time by different algorithms under trees dataset

算法	1 2	1 3	1 4	1 5	1 6
BMLSH	611.968	597.642	600.020	636.769	549.131
MPLSH	710.860	710.031	721.825	639.613	694.181
LINEAR	1169.848	1175.715	1171.077	1174.665	1179.417
HCT	1074.866	1145.758	1061.305	1155.277	1065.505

4 结束语

针对线性搜索、层次聚类树等查询匹配二进制特征时,效率低和入围点数少的问题,本文提出了快速计算位图(FCBM)算法以及位图局部敏感哈希(BMLSH)算法。本文算法可用于匹配二进制特征的搜索、二进制特征识别、图像定位和拼接等领域。实验证明:在相同条件下,本文算法的消耗时间少,搜索到的入围点数多,入围率和平均重投影误差与其他算法接近,消耗的内存空间与多探头局部敏感哈希算法相当。

参考文献:

- [1] Lowe D G. Distinctive image features from scale-invariant keypoints[J]. International Journal of Computer Vision, 2004, 60(2):91-110.
- [2] 聂海涛,龙科慧,马军,等. 基于快速SIFT算法和模糊控制的人脸识别[J]. 吉林大学学报:工学版, 2016, 46(2):549-555.
Nie Hai-tao, Long Ke-hui, Ma Jun, et al. Face recognition based on fast scale invariant feature algorithm and fuzzy control [J]. Journal of Jilin University (Engineering and Technology Edition), 2016, 46(2): 549-555.
- [3] Bay H, Ess A, Tuytelaars T, et al. Speeded-up robust features (surf)[J]. Computer Vision and Image Understanding, 2008, 110(3):346-359.
- [4] 郭清达,全燕鸣,姜长城,等. 应用摄像机位姿估计的点云初始配准[J]. 光学精密工程, 2017, 25(6): 1635-1651.
Guo Qing-da, Quan Yan-ming, Jiang Chang-cheng, et al. Initial registration of point clouds using camera pos estimation[J]. Optics and Precision Engineering, 2017, 25(6):1635-1651.
- [5] Calonder M, Lepetit V, Strecha C, et al. BRIEF: binary robust independent elementary features [J/OL]. [2017-03-22]. http://icwww.epfl.ch/~lepetit/papers/calonder_eccv10.pdf.
- [6] Rublee E, Rabaud V, Konolige K, et al. ORB: an efficient alternative to SIFT or SURF [J/OL]. [2017-03-25]. <http://www.cs.zju.edu.cn/~gpan/course/materials/ORB.pdf>.
- [7] Leutenegger S, Chli M, Siegwart R Y. BRISK: binary robust invariant scalable keypoints [J/OL]. [2017-03-23]. <http://www.robots.ox.ac.uk/~vgg/rg/papers/brisk.pdf>.
- [8] Alahi A, Ortiz R, Vandergheynst P. FREAK: fast retina keypoint[J/OL]. [2017-03-24]. <https://infoscience.epfl.ch/record/175537/files/2069.pdf>.
- [9] 张展,杨东升. 圆周二进制描述符的图像点特征提取方法[J]. 计算机辅助设计与图形学学报, 2017, 29(8):1465-1476.
Zhang Zhan, Yang Dong-sheng. Image point feature extraction algorithm of circumferential binary descriptor[J]. Journal of Computer-Aided Design & Computer Graphics, 2017, 29(8):1465-1476.
- [10] Richard Szeliski. 计算机视觉-算法与应用[M]. 艾海舟,兴军亮译. 北京:清华大学出版社, 2012:175-176.
- [11] Indyk P, Motwani R. Approximate nearest neighbor: towards removing the curse of dimensionality [J/OL]. [2017-03-23]. <http://www.cs.princeton.edu/courses/archive/spr04/cos598B/bib/IndykM-curse.pdf>.
- [12] Lv Qin, Josephson William, Wang Zhe, et al. Multi-probe LSH: efficient indexing for high-dimensional similarity search[J/OL]. [2017-03-24]. http://www.cs.princeton.edu/cass/papers/mlsh_vldb07.pdf.
- [13] Kong Wei-hao, Li Wu-jun, Guo Min-yi. Manhattan hashing for large-scale image retrieval[C]// Proceedings of the 35th International ACM SIGIR Conference on Research and Development in Information Retrieval, New York, NY, USA, 2012:45-54.
- [14] Shrivastava Anshumali, Li Ping. Densifying one permutation hashing via rotation for fast near neighbor search[J/OL]. [2017-03-23]. <http://proceedings.mlr.press/v32/shrivastava14.pdf>.
- [15] Lin Guo-sheng, Shen Chun-hua, Shi Qin-fen, et al. Fast supervised hashing with decision trees for high-dimensional data[C]// IEEE Conference on Computer Vision& Pattern Recognition, Columbus, OH, USA, 2014:1971-1978.
- [16] Liang Venice Erin, Lu Ji-wen, Wang Gang, et al. Deep hashing for compact binary codes learning[J/OL]. [2017-03-23]. https://www.cv-foundation.org/openaccess/content_cvpr_2015/papers/Liang_Deep_Hashing_for_2015_CVPR_paper.pdf.
- [17] Lin Kevin, Yang Huei-fang, Hsiao Jen-hao, et al. Deep learning of binary hash codes for fast image retrieval[J/OL]. [2017-03-22]. <http://www.iis.sinica.edu.tw/~kevinlin311.tw/cvprw15.pdf>.
- [18] Norouzi M, Fleet D J. Minimal loss hashing for compact binary codes[C]// Proceedings of the 28th International Conference on Machine Learning, Bel-

- levue, Washington, USA, 2011:353-360.
- [19] Norouzi M, Punjani A, Fleet D J. Fast search in hamming space with multi-index hashing [J/OL]. [2017-03-25]. https://www.cs.toronto.edu/~norouzi/research/papers/multi_index_hashing.pdf.
- [20] Muja M, Lowe D G. Fast matching of binary features[C]//2012 Ninth Conference on Computer and Robot Vision, Toronto, ON, Canada, 2012: 404-410.
- [21] Muja M, Lowe D G. Scalable nearest neighbor algorithms for high dimensional data[J]. IEEE Transactions on Pattern Analysis & Machine Intelligence, 2014, 36(11):2227-2240.
- [22] Garcia-Molina H, Ullman J D, Widom J. 数据库系统实现[M]. 杨冬青, 吴愈青, 包小源译. 2 版. 北京: 机械工业出版社, 2010:688-693.
- [23] Mikolajczyk K, Schmid C. A performance evaluation of local descriptors[J]. IEEE Transactions on Pattern Analysis & Machine Intelligence, 2005, 27(10):1615-1630.
- [24] 邹瑜, 梁斌, 王学谦, 等. 基于旋转投影二进制描述符的空间目标位姿估计[J]. 光学精密工程, 2017, 25(11):2958-2967.
- Zou Yu, Liang Bin, Wang Xue-qian, et al. Spacetar-get pose estimation based on binary rotational projection histogram[J]. Optics and Precision Engineering, 2017, 25(11):2958-2967.
- [25] 崔少辉, 谢征, 王刚, 等. 二进制鲁棒不变尺度特征匹配电子稳像[J]. 光学精密工程, 2015, 23(9): 2715-2723.
- Cui Shao-hui, Xie Zheng, Wang Gang, et al. Feature matching electronic image stabilization based on binary robust in variant scalable keypoints[J]. Optics and Precision Engineering, 2015, 23(9):2715-2723.
- [26] 罗家祥, 林畅赫, 王加朋, 等. 结合深度卷积网络与加速鲁棒特征配准的图像精准定位[J]. 光学精密工程, 2017, 25(2):469-476.
- Luo Jia-xiang, Lin Chang-he, Wang Jia-peng, et al. Accurate image positioning combining deep convolution network with SURF registering[J]. Optics and Precision Engineering, 2017, 25(2):469-476.
- [27] 熊昌镇, 单艳梅, 郭芬红. 结合主体检测的图像检索方法[J]. 光学精密工程, 2017, 25(3):792-798.
- Xiong Chang-zhen, Shan Yan-mei, Guo Fen-hong. Image retrieval method based on image principal part detection [J]. Optics and Precision Engineering, 2017, 25(3):792-798.